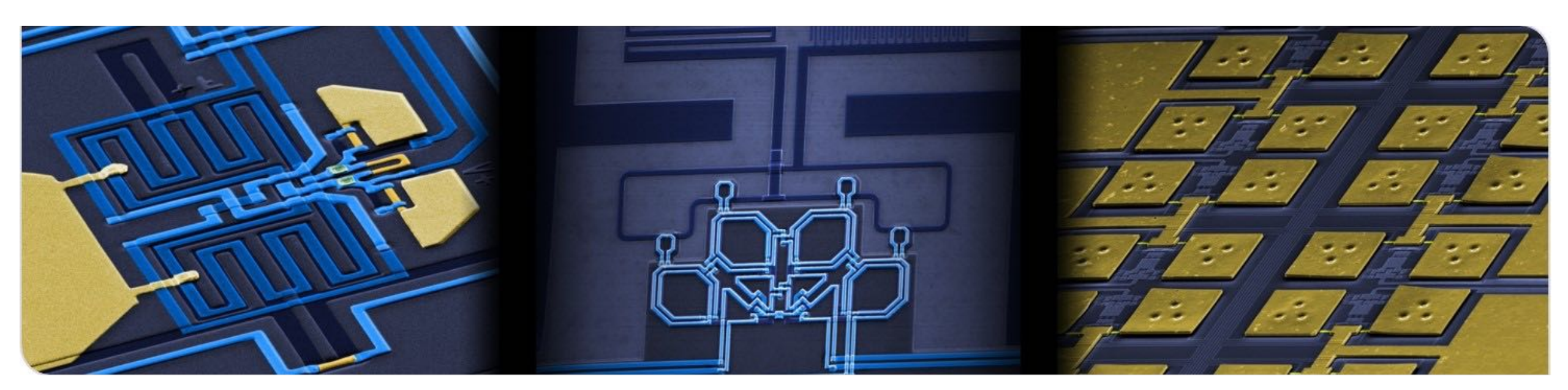




#### **Bauelemente der Elektrotechnik**

Prof. Dr. rer. nat. Sebastian Kempf Wintersemester 2021/22

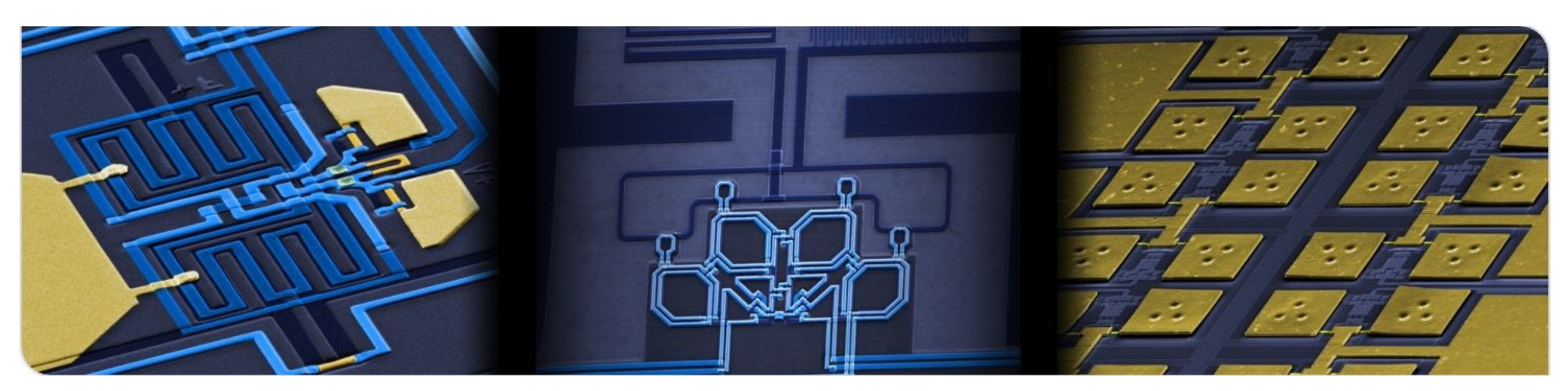






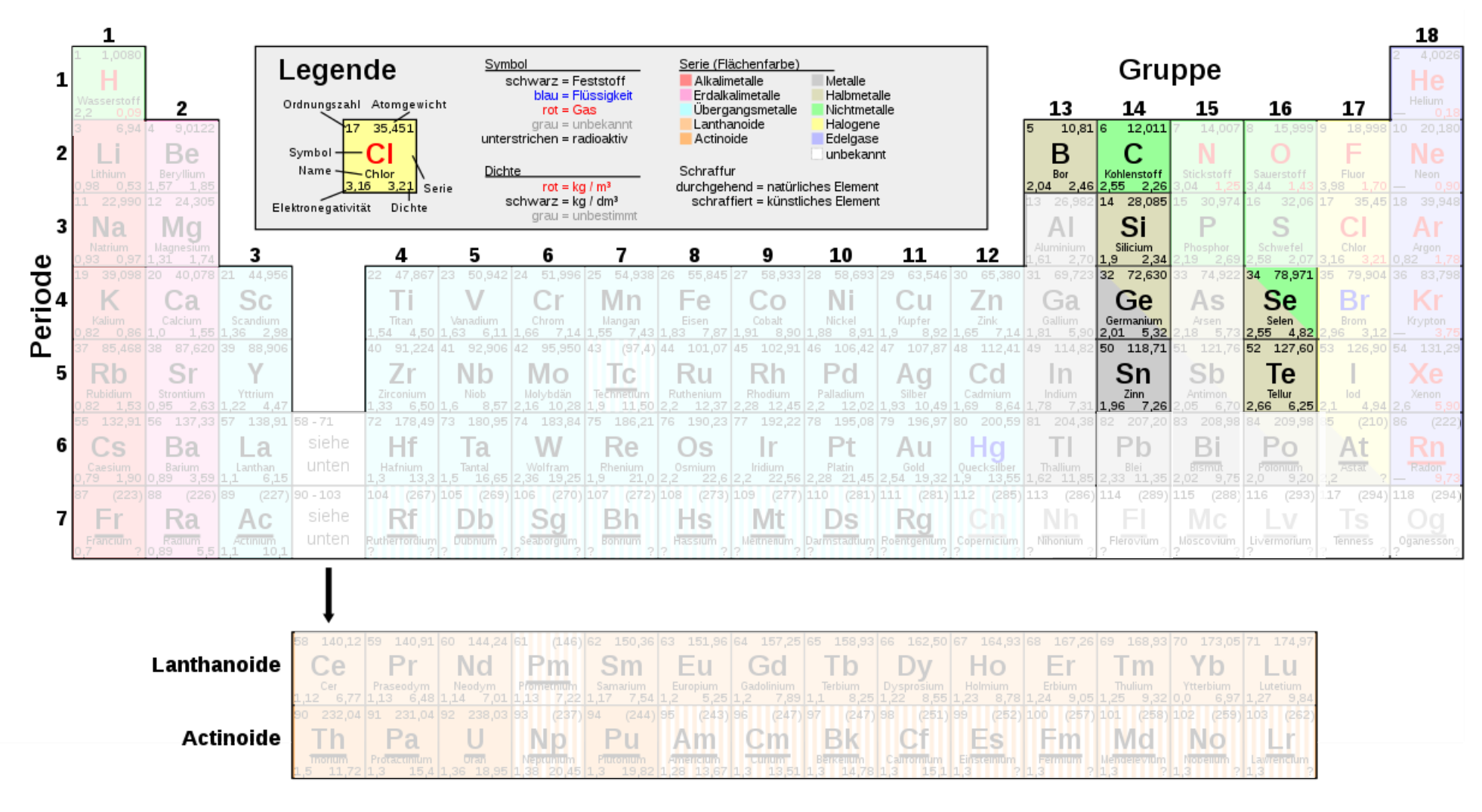
#### **Bauelemente der Elektrotechnik**

# Halbleiterphysik Wintersemester 2021/22



#### Elementhalbleiter







# Verbindungshalbleiter



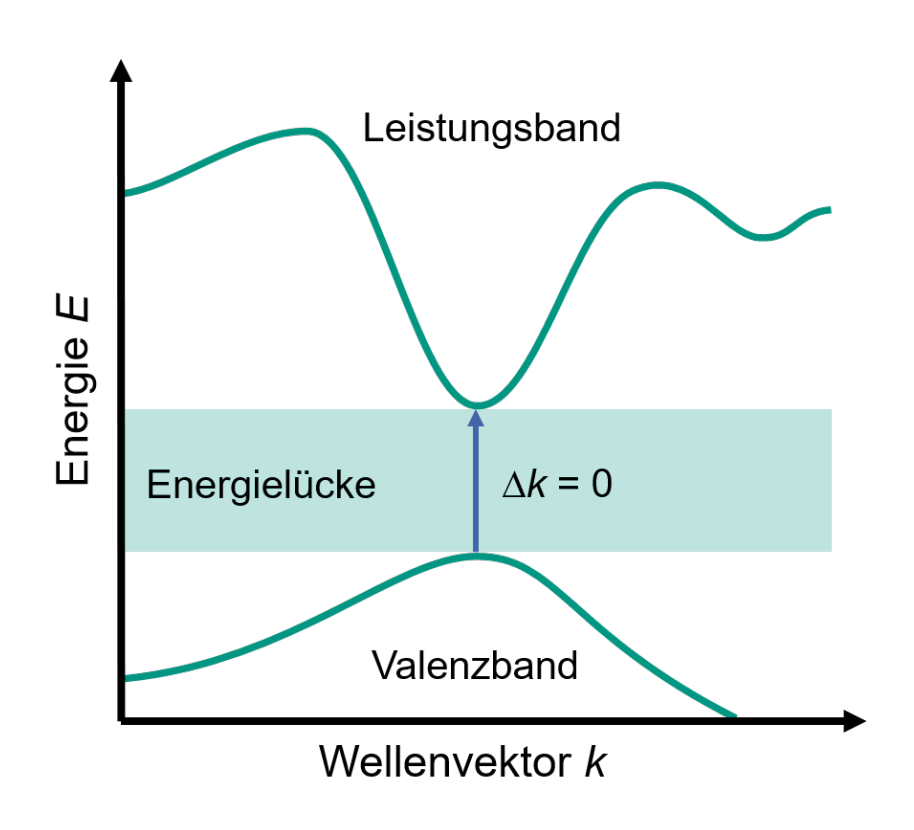
- IV-IV-Verbindungshalbleiter: Hochfrequenzelektronik
  - SiC, SiGe
- III-V-Verbindungshalbleiter: Laserdioden bzw. LEDs im UV-Bereich, Solarzellen mit hohem Wirkungsgrad
  - Nitride: GaN, AlN, InN, BN
  - Phosphide: GaP, AIP, InP,
  - Arsenide: GaAs, AlAs, InAs, BAs
  - Antimonide: GaSb, AlSb, InSb
  - Ternäre/Quaternäre Verbindungen: AlGaAs, AllnAs, GaAsP, GalnN, GalnP, AlGaAsSb, GalnAsP
- II-VI-Verbindungshalbleiter: Halbleiterlaser im kurzwelligen Spektralbereich, Solarzellen
  - Sulfide: ZnS, CdS, HgS
  - Telluride: CdTe
  - Selenide: ZnS, CdSe
  - Ternäre Verbindungen: (Zn,Cd)Se, Zn(S,Se), (Be,Zn)Se, (Be,Cd)Se
- IV-VI-Verbindungshalbleiter: Infrarot-Detektoren, Wärmebildkameras
  - PbS, PbSe, PbTe

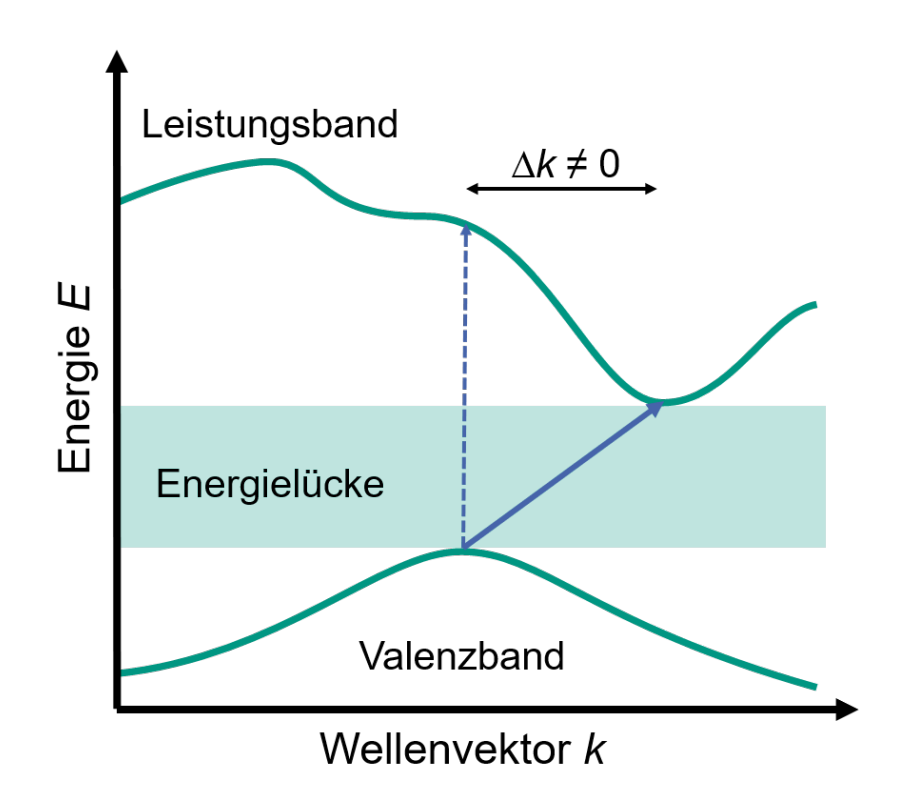
WiSe 2021/22



#### Direkte und indirekte Halbleiter



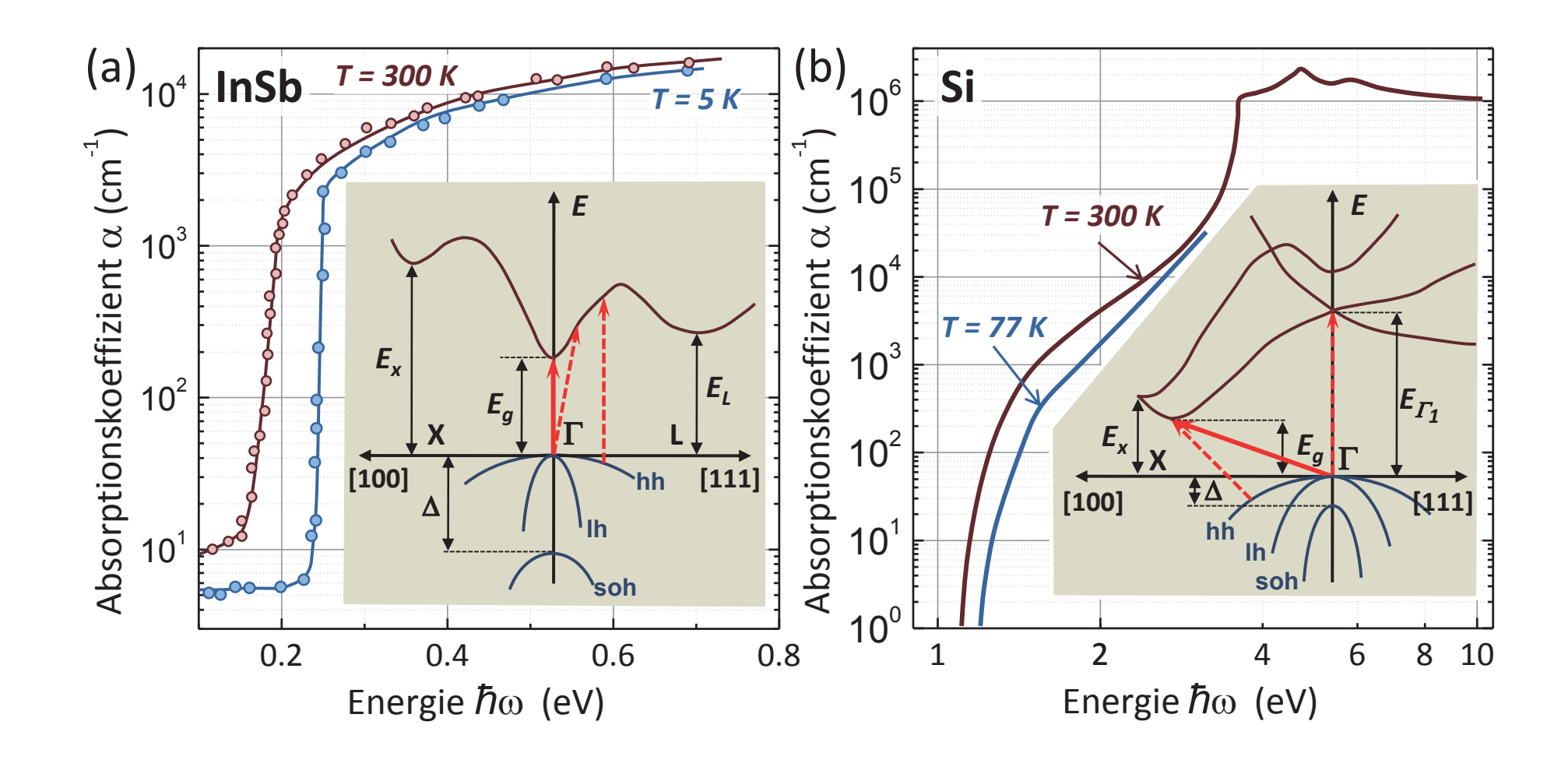






# Optische Absorption bei direkten und indirekten Halbleitern

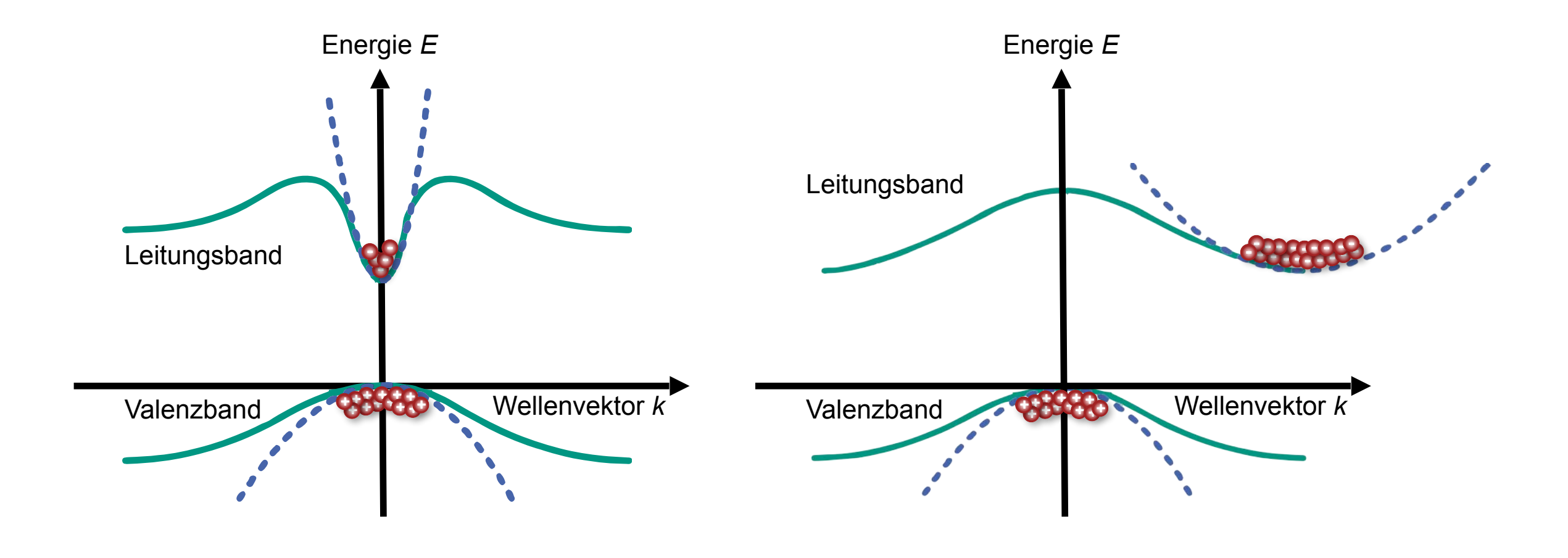






# Quadratische Näherung der Bandstruktur



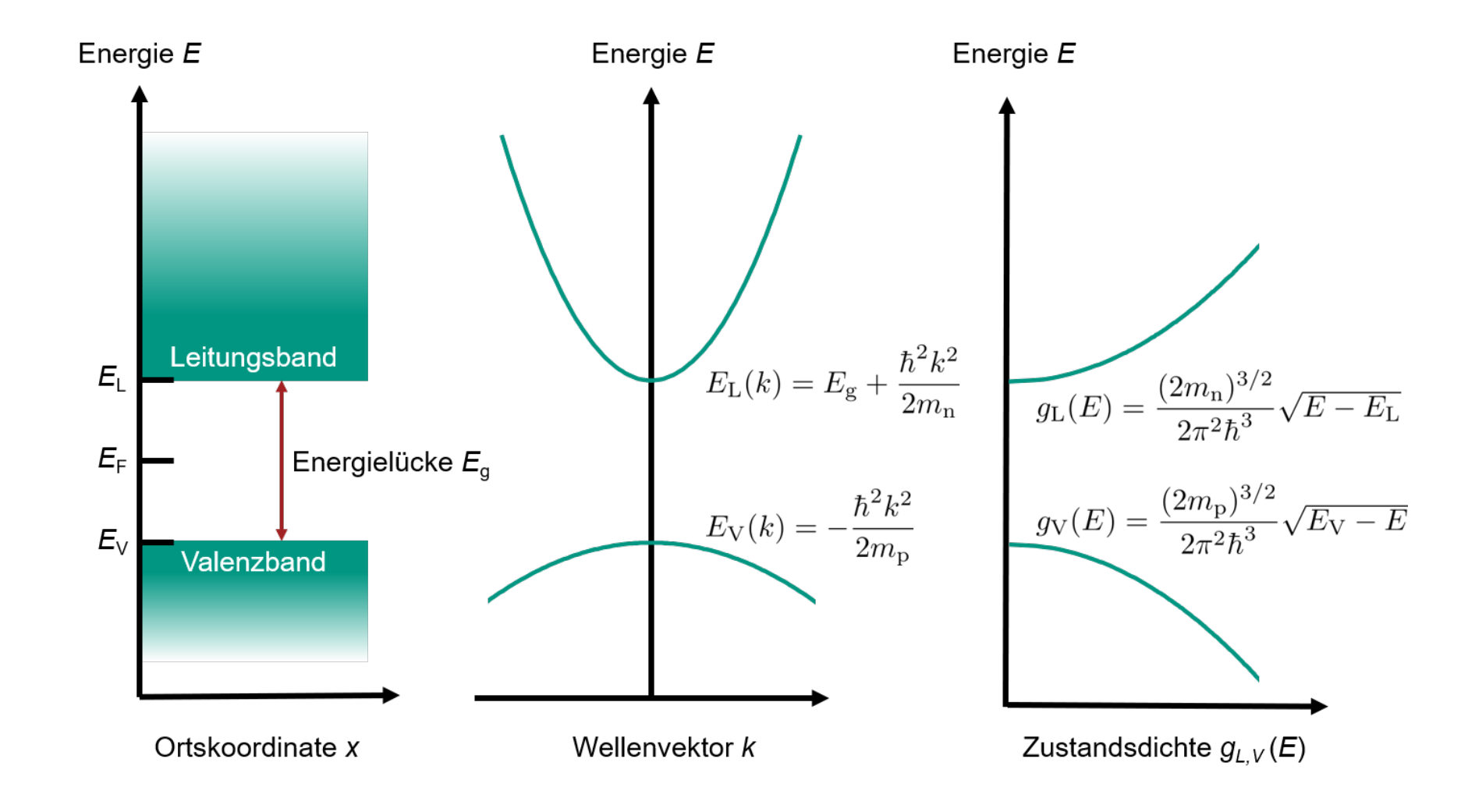




BdE: Halbleiterphysik

## Quadratische Näherung der Bandstruktur

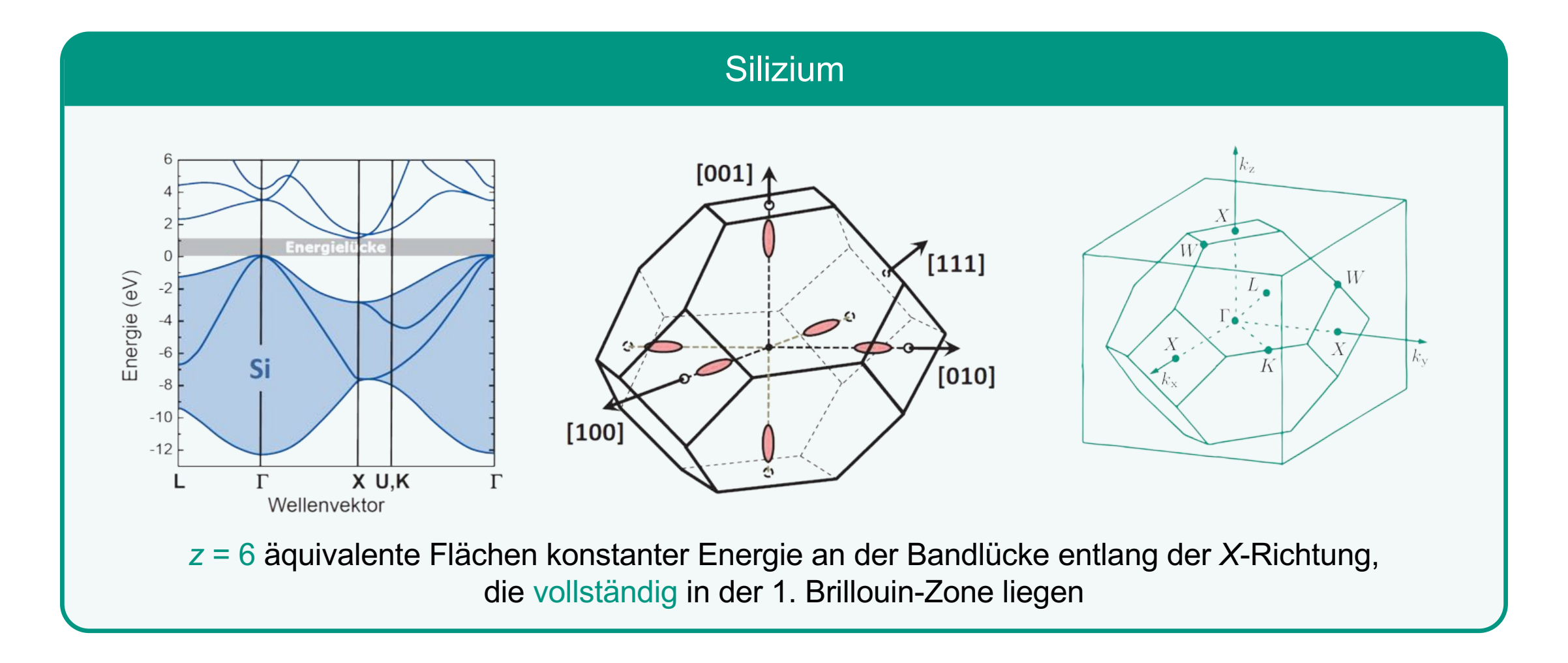






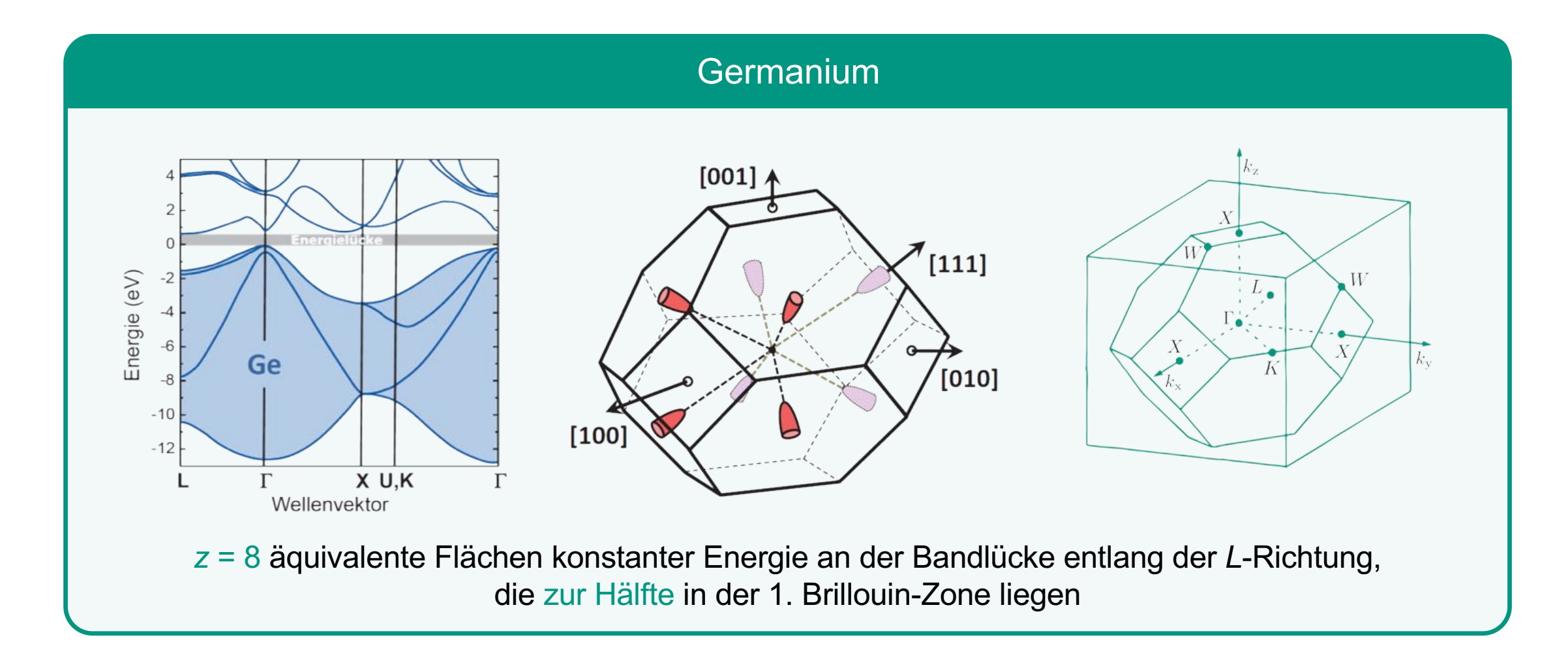
#### Bandstruktur und effektive Masse von Si





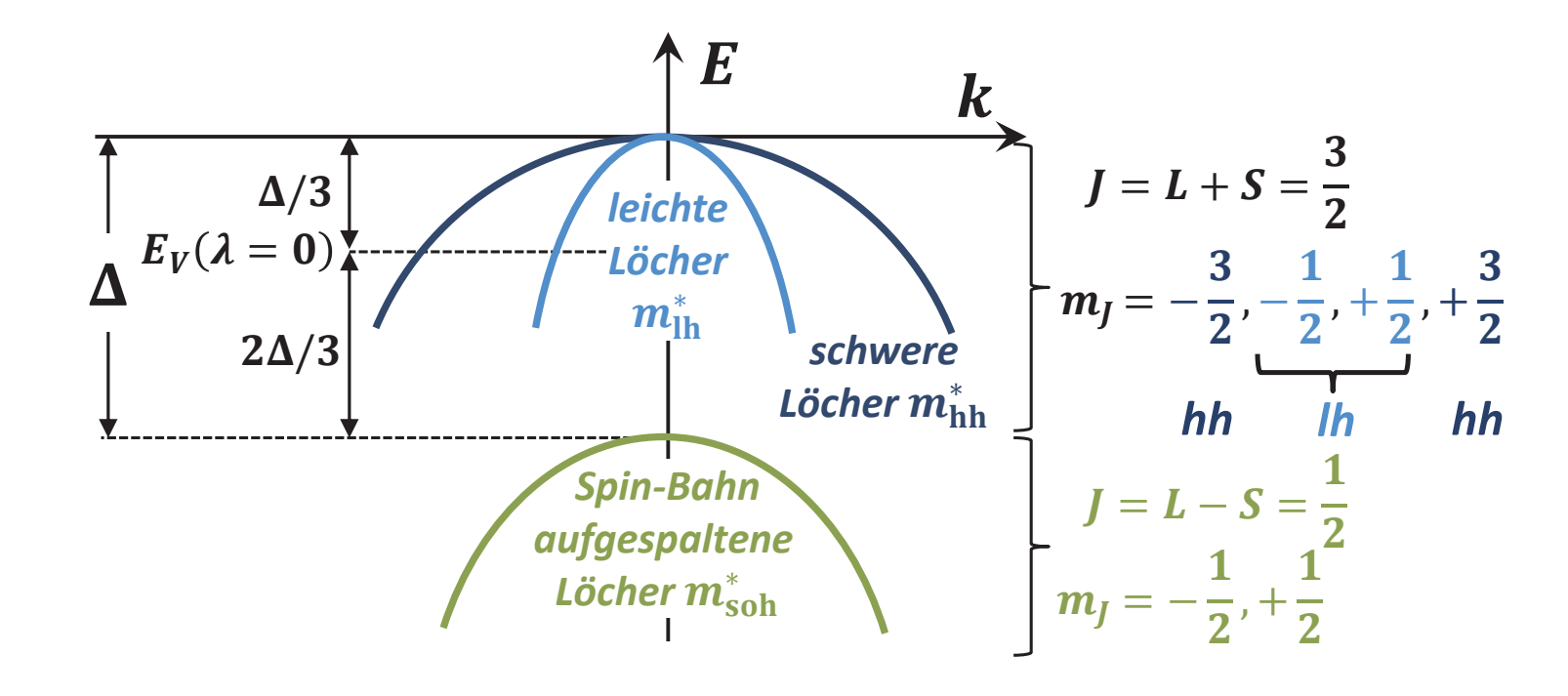
#### Bandstruktur und effektive Masse von Si





#### Bandstruktur am Valenzbandmaximum







### Effektive Massen von Elektronen und Löchern

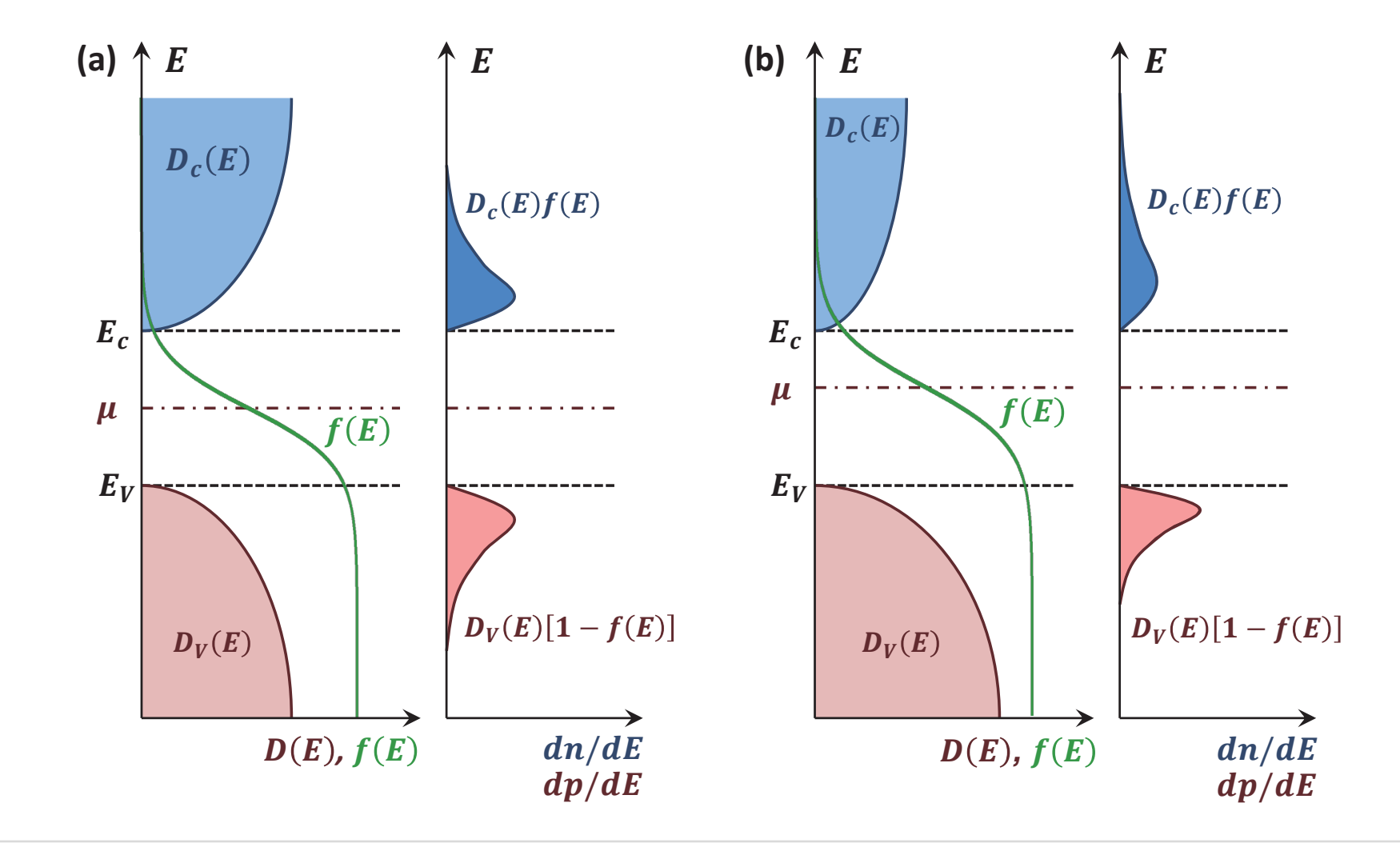


Halbleiter	$m_{\rm e}^*/m$	$m_{\rm et}^*/m$	$m_{\rm el}^*/m$	$m_{\rm lh}^*/m$	$m_{\rm hh}^*/m$	$m_{\rm soh}^*/m$	$\Delta$ (eV)
Si		0.19	0.98	0.16	0.49	0.24	0.044
Ge		0.081	1.59	0.043	0.33	0.084	0.295
GaAs	0.063			0.082	0.51	0.14	0.341
GaSb	0.041			0.04	0.4	0.15	0.80
GaP		1.12	0.22	0.14	0.79	0.25	0.08
InAs	0.023			0.026	0.41	0.16	0.41
InP	0.073			0.089	0.58	0.17	0.11
InSb	0.014			0.015	0.43	0.19	0.81



# Zustandsdichten, Fermi-Funktion und chemisches Potential im intrinsischen Halbleiter

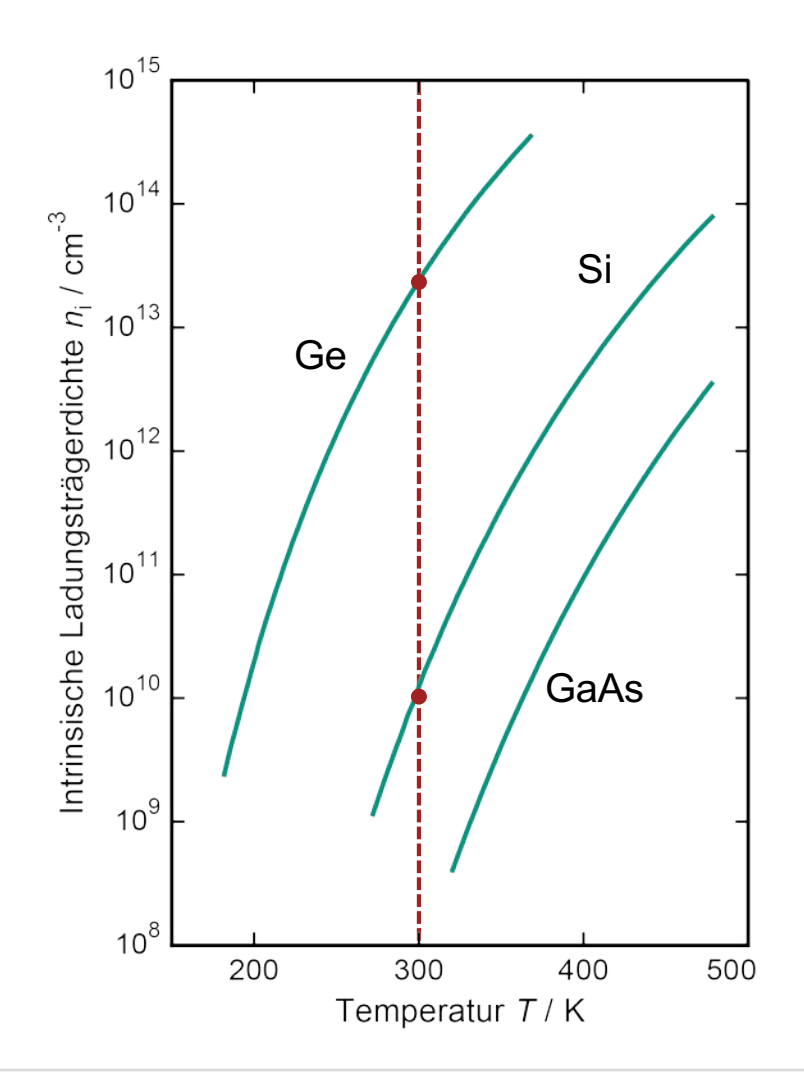






# Intrinsische Ladungsträgerkonzentration





Eigenschaften bei T = 300 K				
	N <sub>L</sub> / cm <sup>-3</sup>	$N_{ m V}$ / cm <sup>-3</sup>	n <sub>i</sub> / cm <sup>-3</sup>	
Si	2.8×10 <sup>19</sup>	1.0×10 <sup>19</sup>	1.5×10 <sup>10</sup>	
Ge	1.0×10 <sup>19</sup>	6×10 <sup>18</sup>	2.3×10 <sup>13</sup>	
GaAs	4.3×10 <sup>17</sup>	7×10 <sup>18</sup>	1.3×10 <sup>6</sup>	



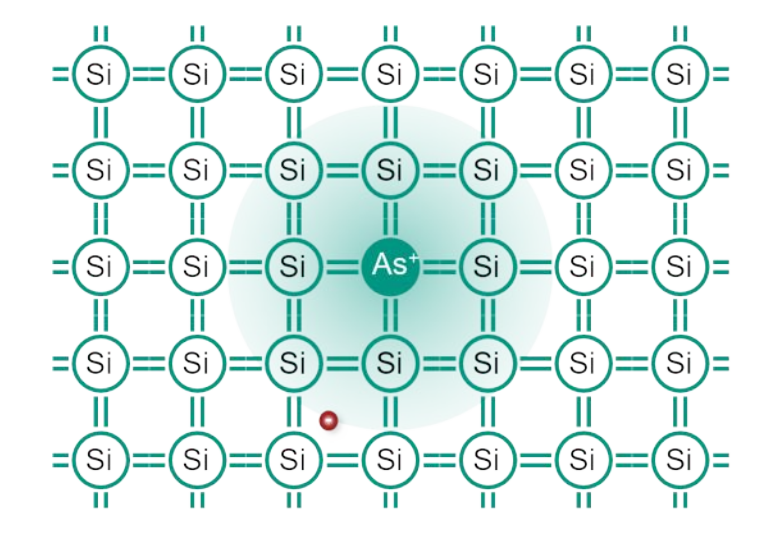
## Donatoren und Akzeptoren



#### Donatoren

**Donatoren** = Atome, die ein Bindungselektron mehr besitzen als das Wirtsgitteratom, welches sie ersetzen.

Überschüssiges Elektron wird nicht zur chemischen Bindung benötigt und kann sich daher frei durch den Kristall bewegen.



#### Akzeptoren

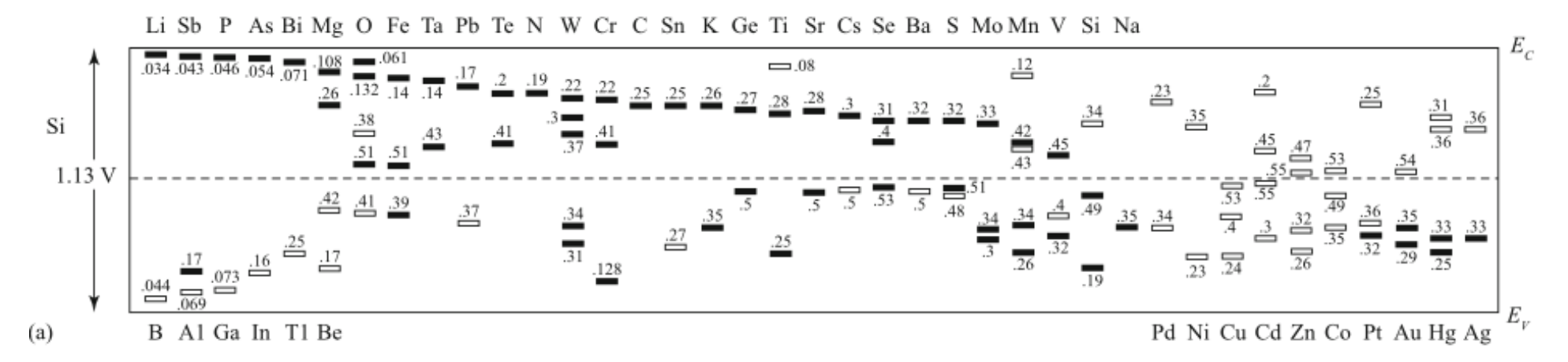
**Akzeptoren** = Atome, die ein Bindungselektron weniger besitzen als das Wirtsgitteratom, welches sie ersetzen.

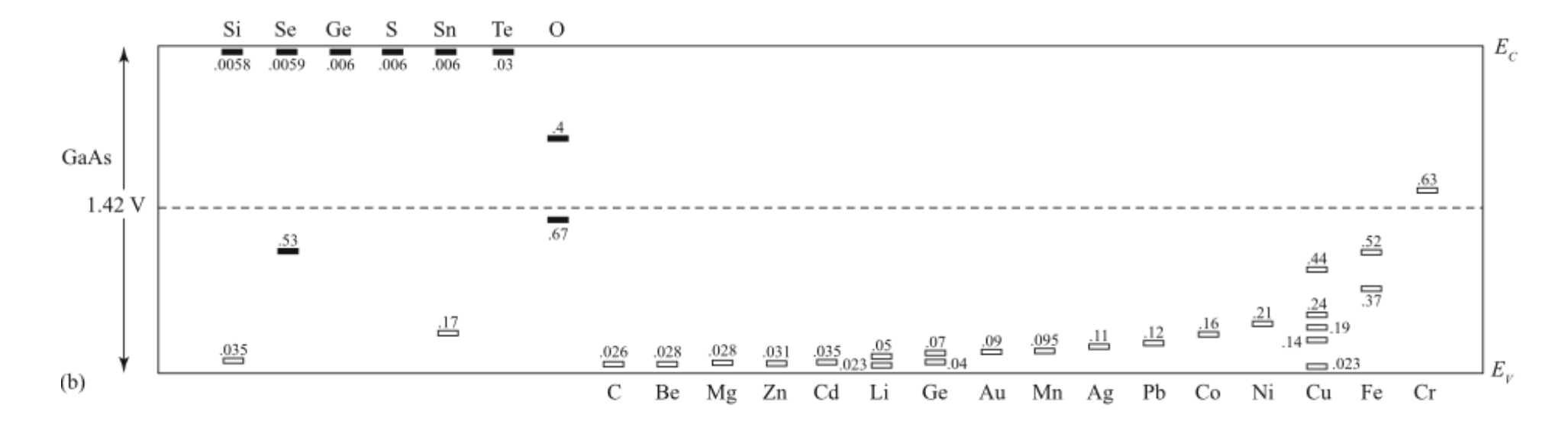
Das zur Bindung fehlende Elektron wird simultan mit einem Loch erschaffen, das sich frei im Kristall bewegen kann.



# Ionisationsenergien



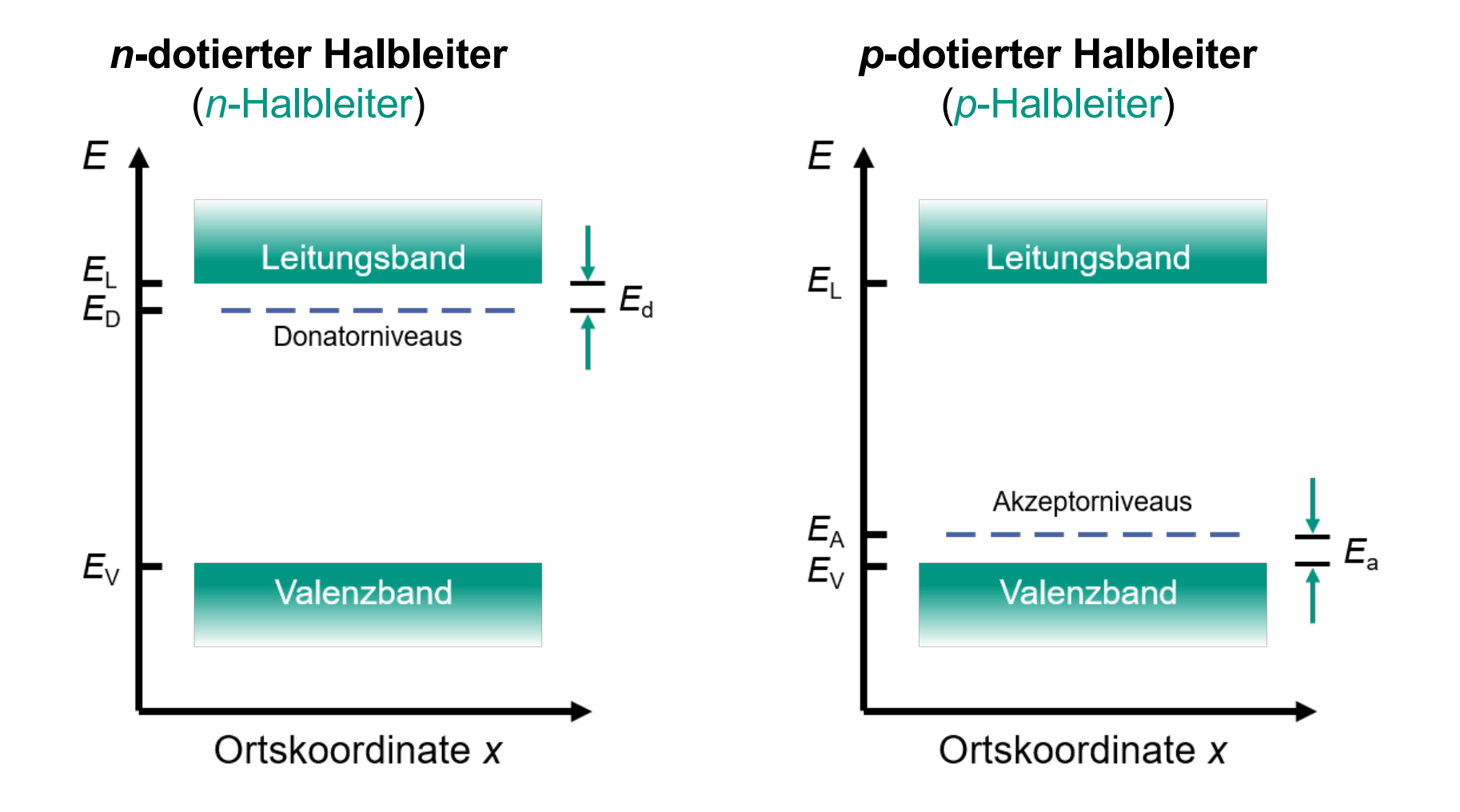






# Vereinfachte Darstellung der Energieniveaus bei Dotierung

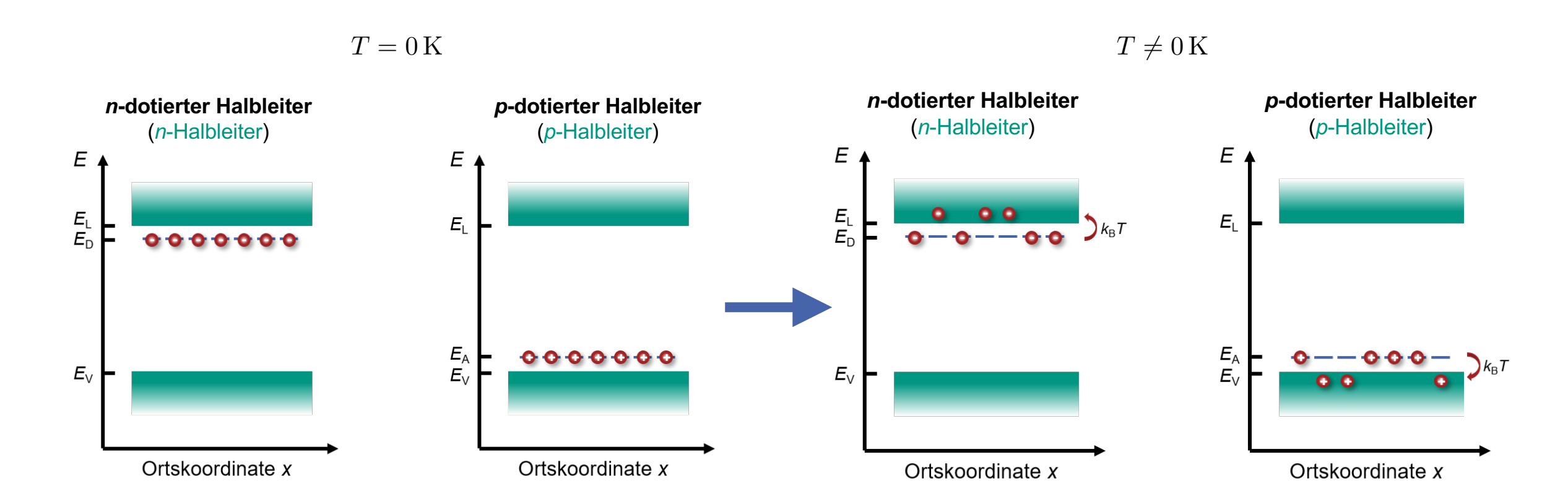






#### Ideale dotierte Halbleiter

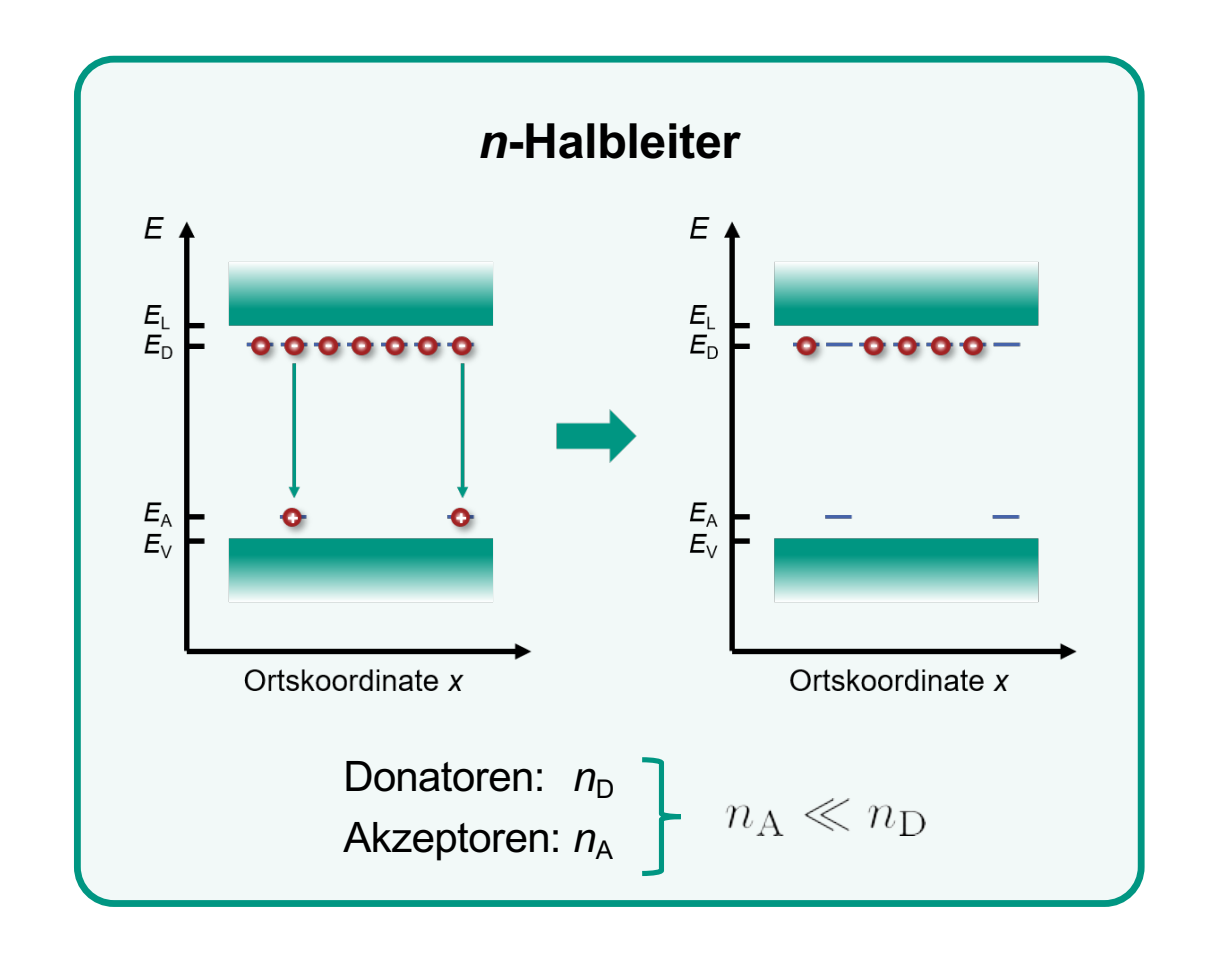


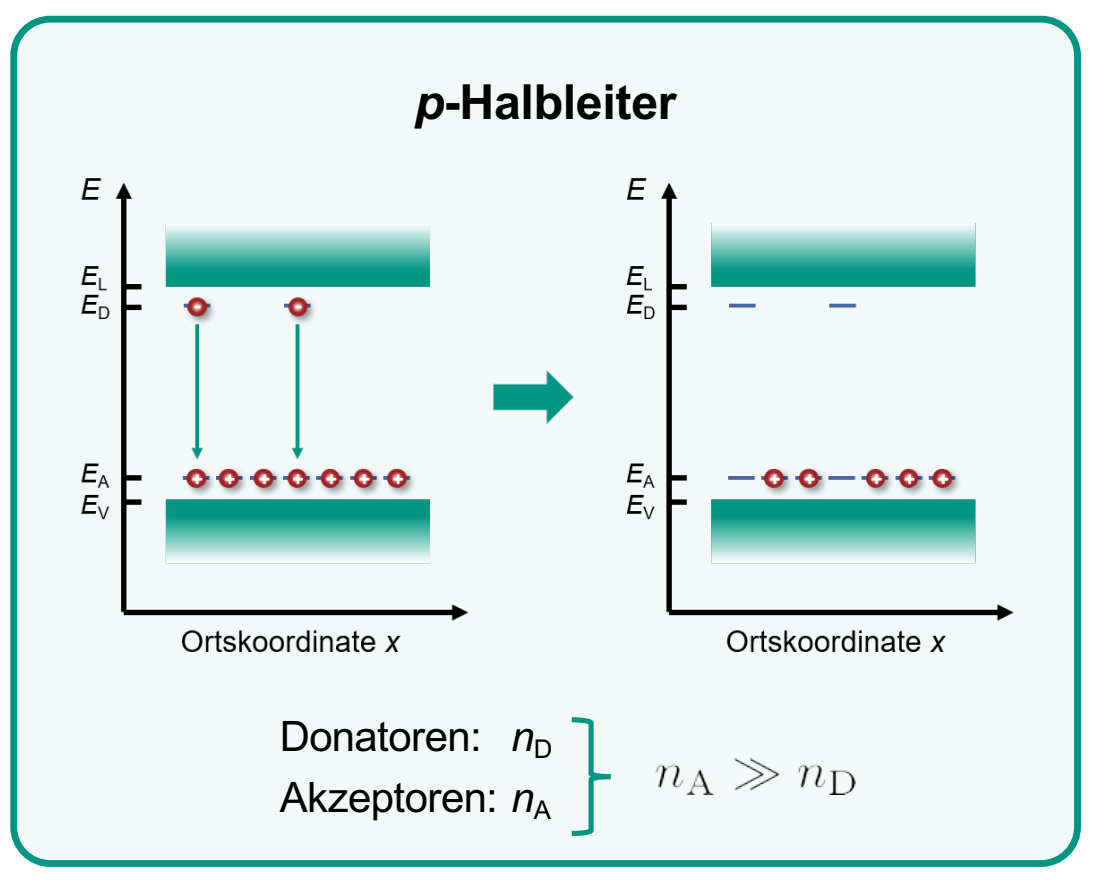




## Reale dotierte Halbleiter und Kompensation

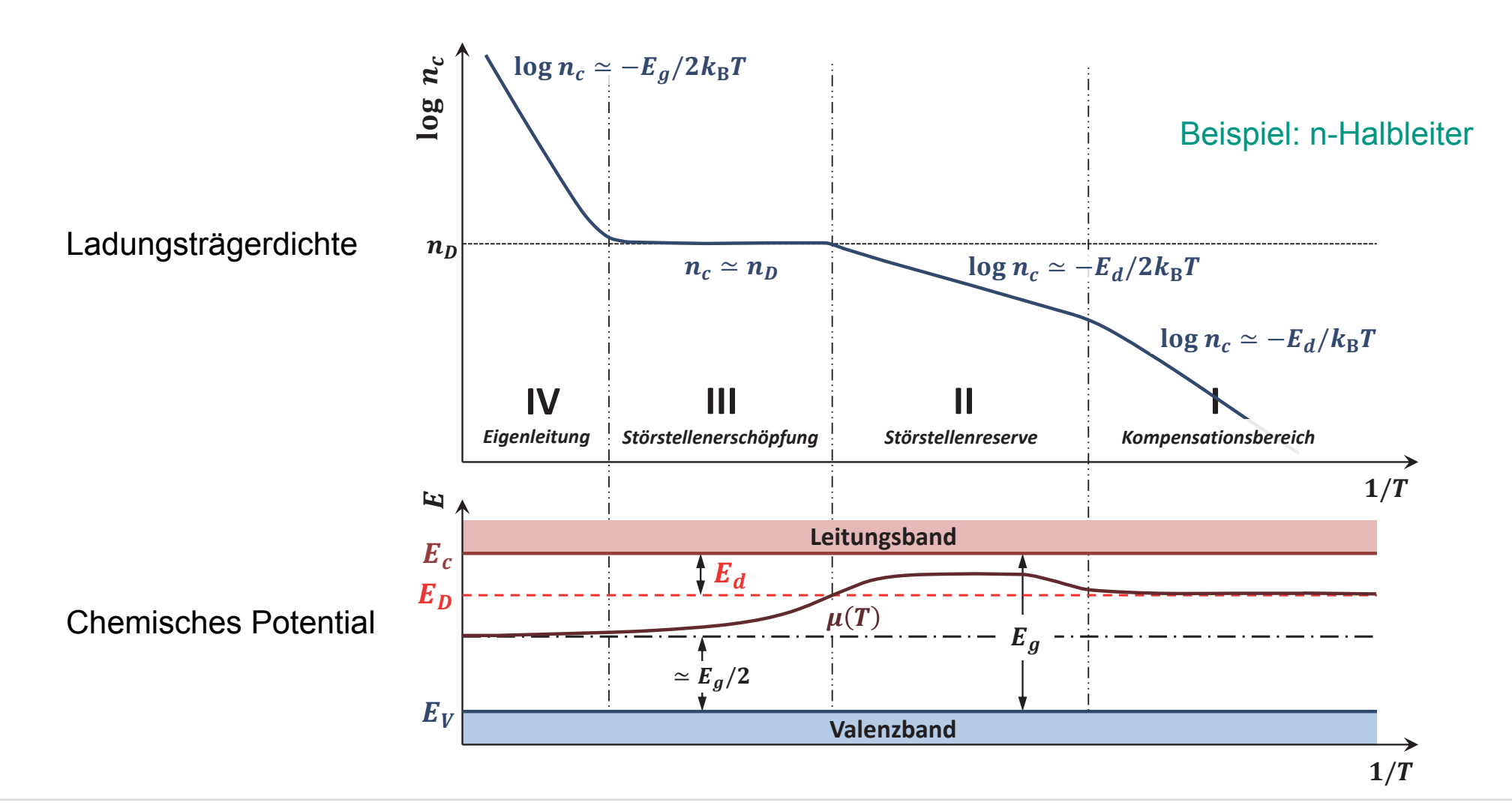






# Ladungsträgerdichte und chemisches Potential







# Ladungsträgerdichte und chemisches Potential

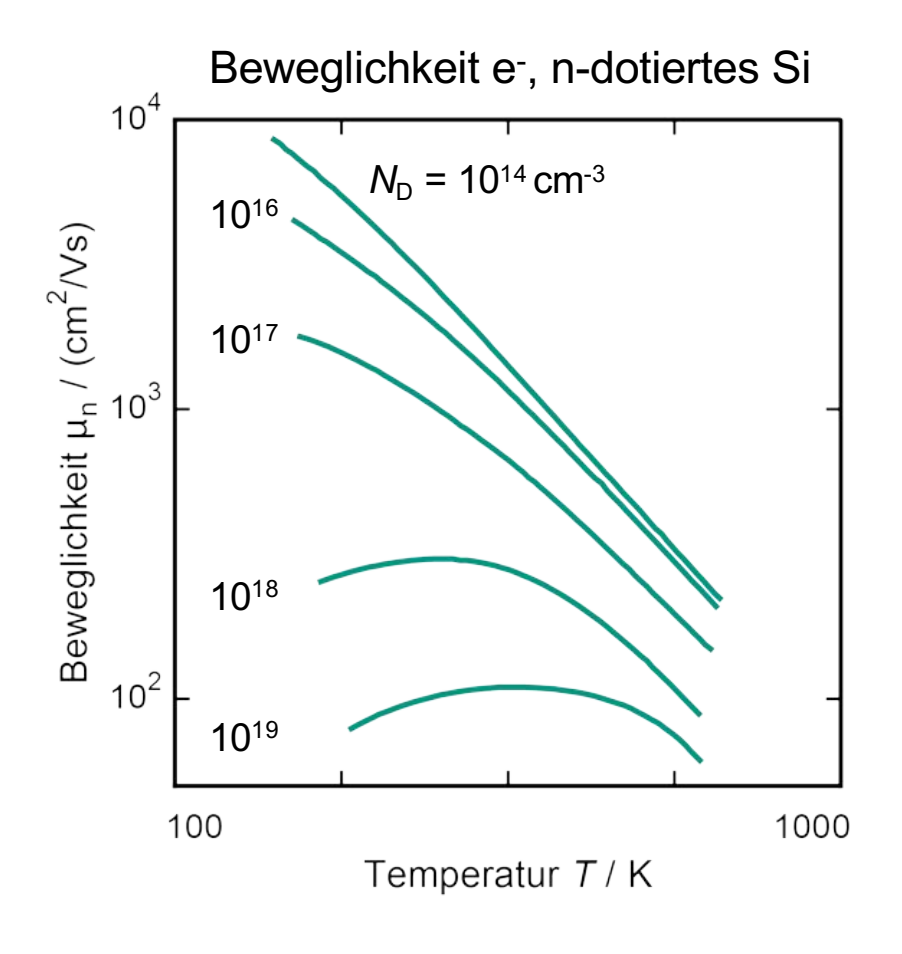


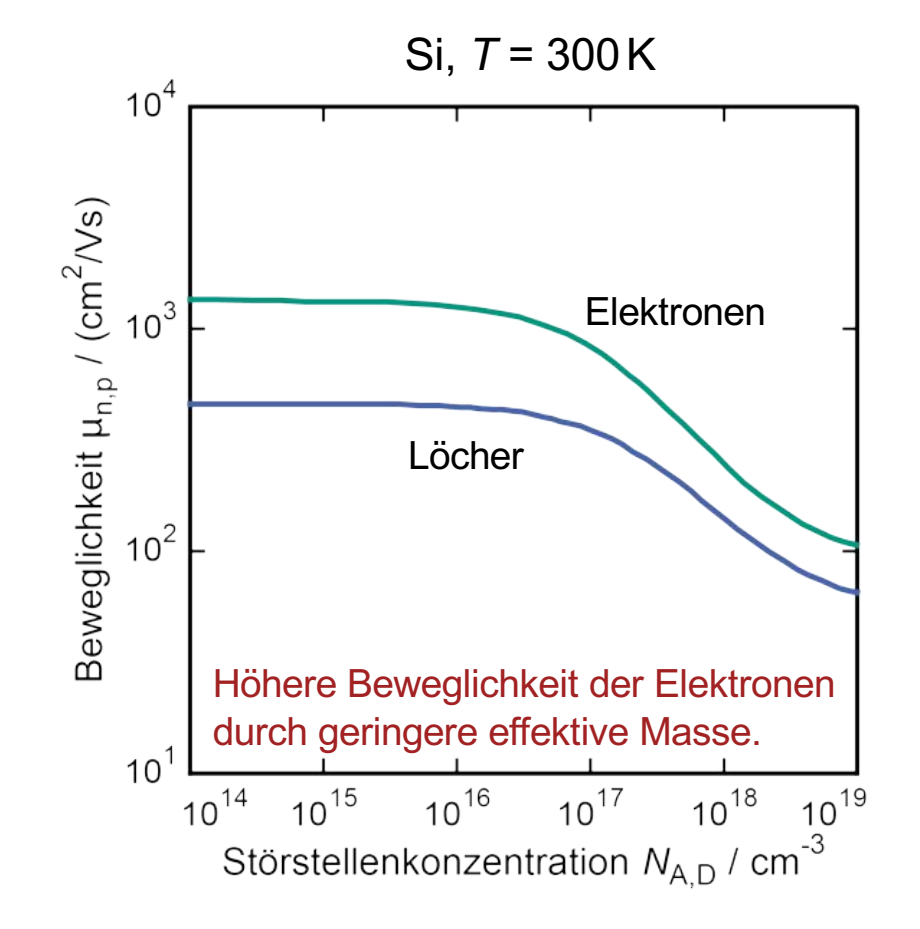
n-Halbleiter Ladungsträgerdichte		Chemisches Potential		
Kompensationsbereich	$n \simeq \frac{n_{\mathrm{D}} \mathcal{N}_{\mathrm{L}}}{n_{\mathrm{A}}} \exp\left(-\frac{E_{\mathrm{d}}}{k_{\mathrm{B}} T}\right)$	$\mu \simeq E_{\mathrm{L}} - E_{\mathrm{d}} + k_{\mathrm{B}} T \ln \left( \frac{n_{\mathrm{D}}}{n_{\mathrm{A}}} \right)$		
Störstellenreserve	$n \simeq \sqrt{n_{\mathrm{D}} \mathcal{N}_{\mathrm{L}}} \exp \left(-\frac{E_{\mathrm{d}}}{2k_{\mathrm{B}}T}\right)$	$\mu \simeq E_{\mathrm{L}} - \frac{E_{\mathrm{d}}}{2} - \frac{k_{\mathrm{B}}T}{2} \ln \left( \frac{\mathcal{N}_{\mathrm{L}}}{n_{\mathrm{D}}} \right)$		
Störstellenerschöpfung	$n \simeq n_{\mathrm{D}}$	$\mu \simeq E_{\mathrm{L}} - k_{\mathrm{B}} T \ln \left( \frac{\mathcal{N}_{\mathrm{L}}}{n_{\mathrm{D}}} \right)$		
Eigenleitung	$n \simeq \sqrt{\mathcal{N}_{\rm L} \mathcal{N}_{\rm V}} \exp\left(-\frac{E_{\rm g}}{2k_{\rm B}T}\right)$	$\mu \simeq E_{\mathrm{V}} + \frac{1}{2}E_{\mathrm{g}} + \frac{3}{4}k_{\mathrm{B}}T\ln\left(\frac{m_{\mathrm{p}}}{m_{\mathrm{n}}}\right)$		



# Beweglichkeit von Elektronen und Löchern



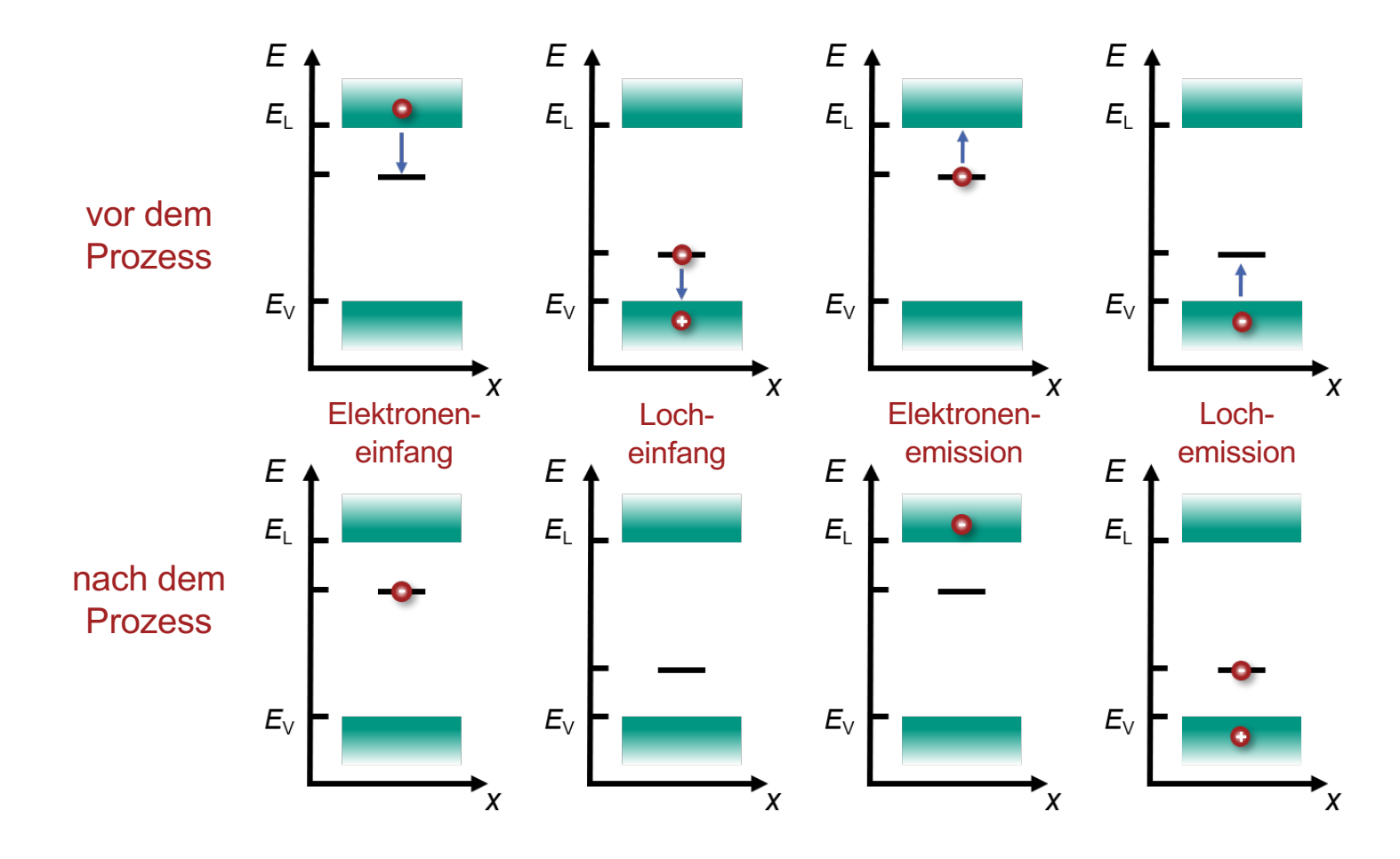






# Verschiedene Prozesse bei der Generation bzw. Rekombination über Störstellenniveaus

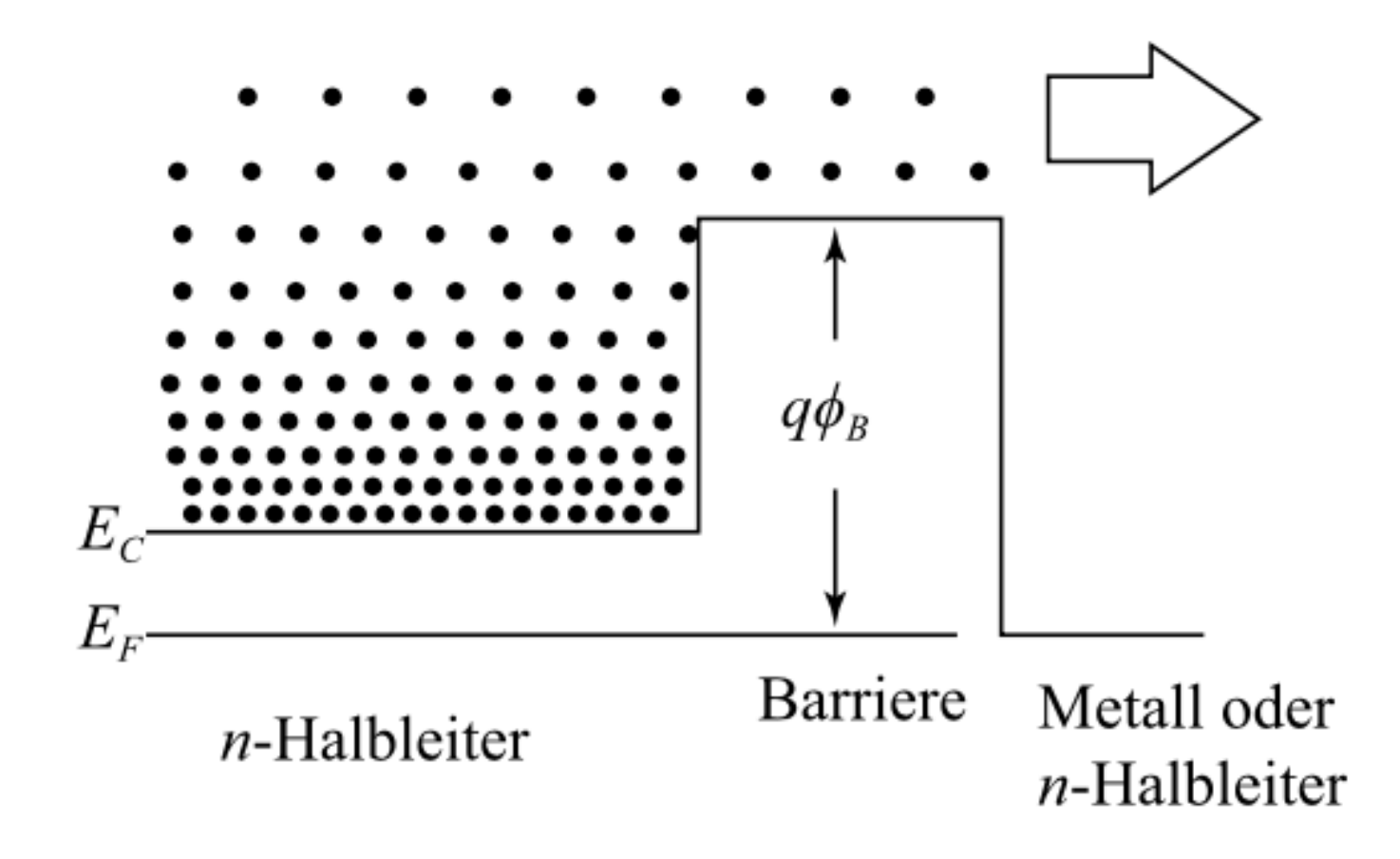






#### **Thermionische Emission**

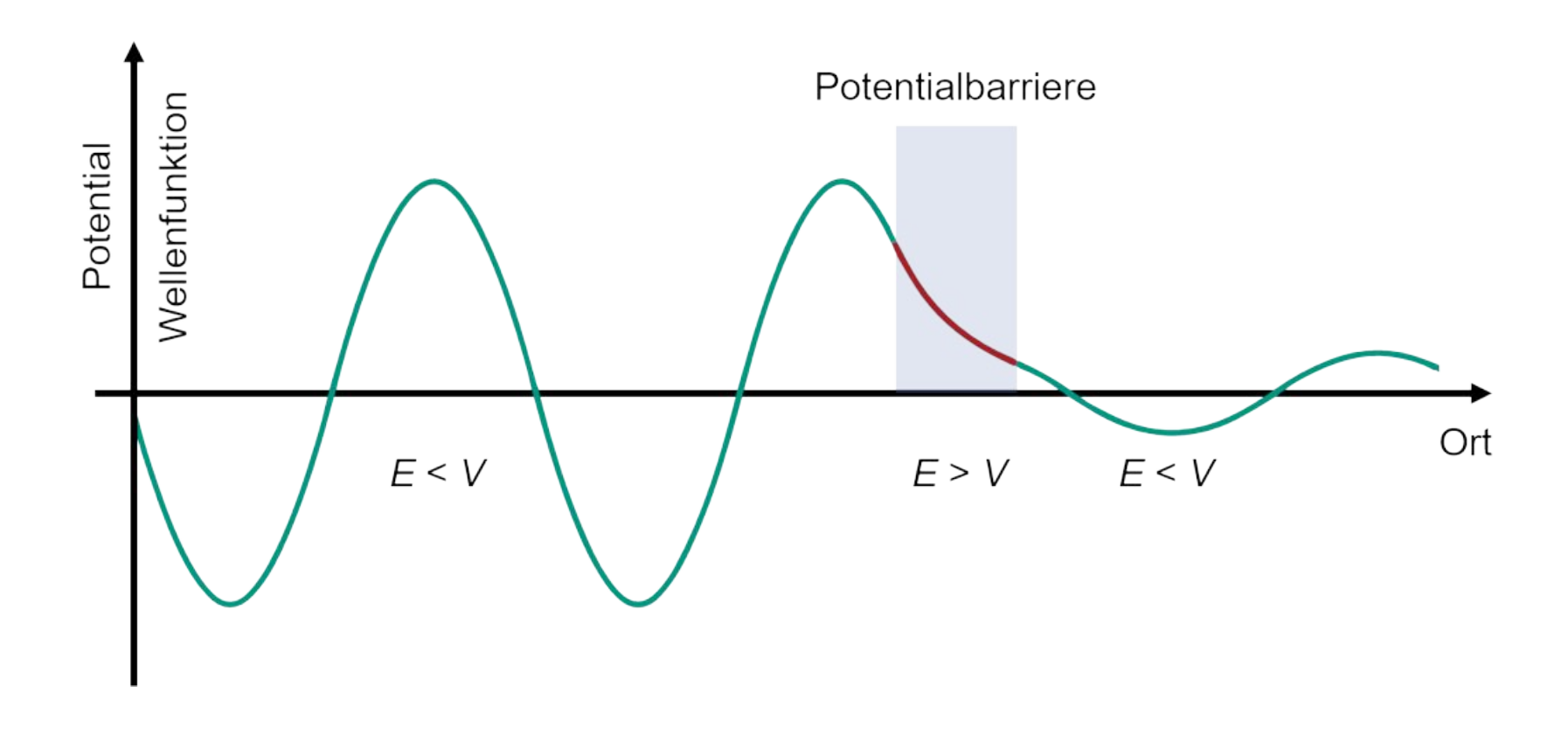






### **Quantenmechanischer Tunneleffekt**

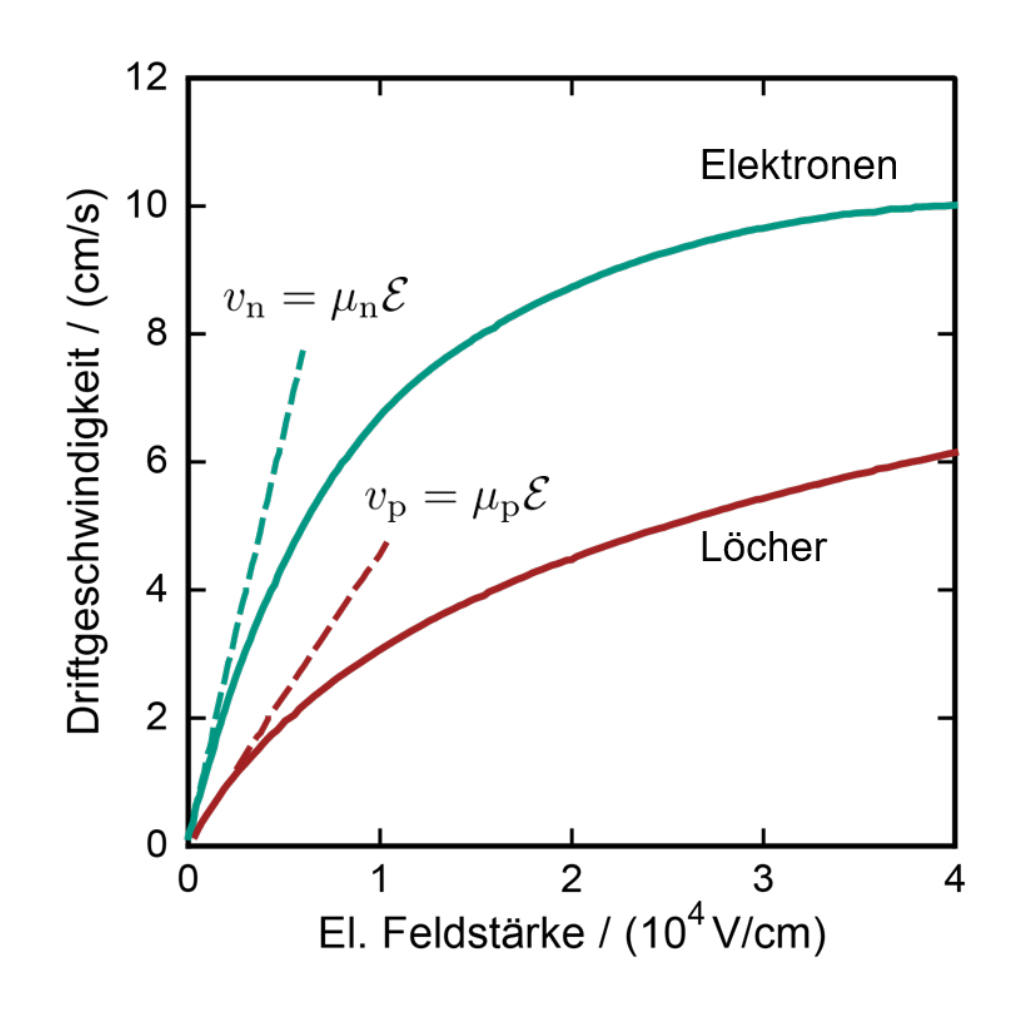






# Driftgeschwindigkeit für Silizium



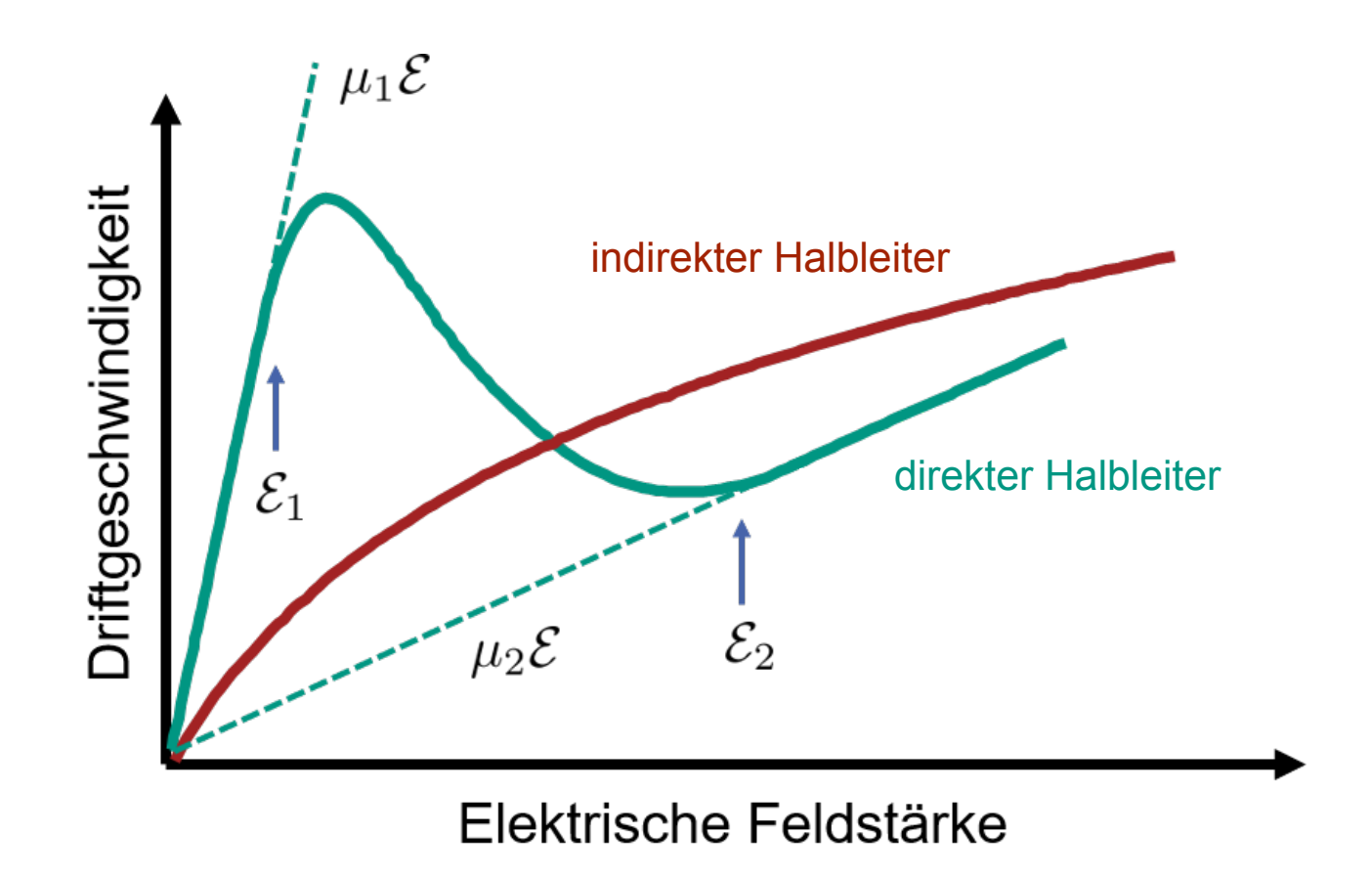


	Elektronen	Löcher	
V <sub>s</sub>	10 <sup>7</sup> cm/s		
$E_0$	7×10 <sup>3</sup> V/cm	2×10 <sup>4</sup> V/cm	
γ	2	1	



# Driftgeschwindigkeit für direkte und indirekte Halbleiter

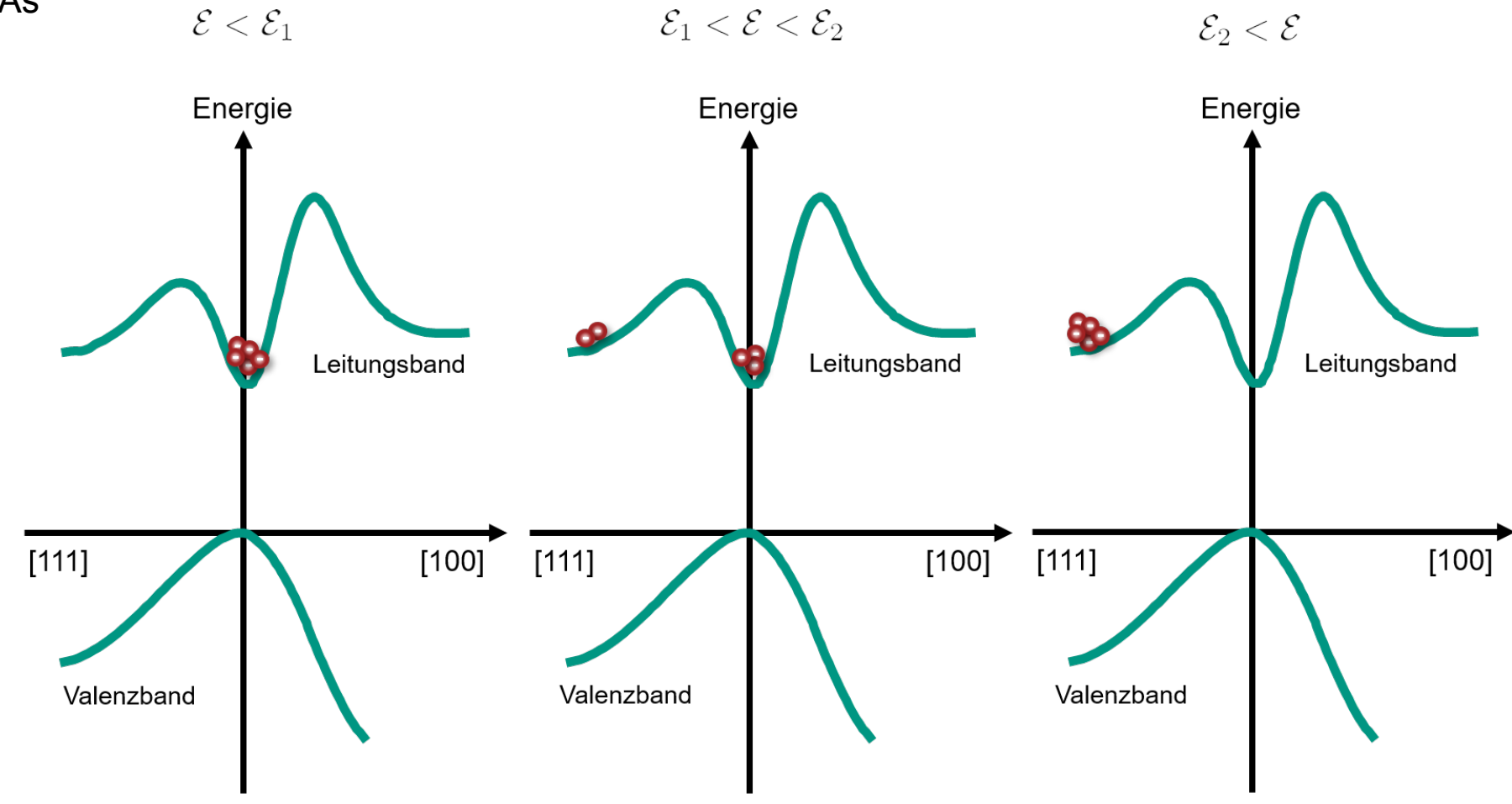




## Driftgeschwindigkeit bei direkten Halbleitern

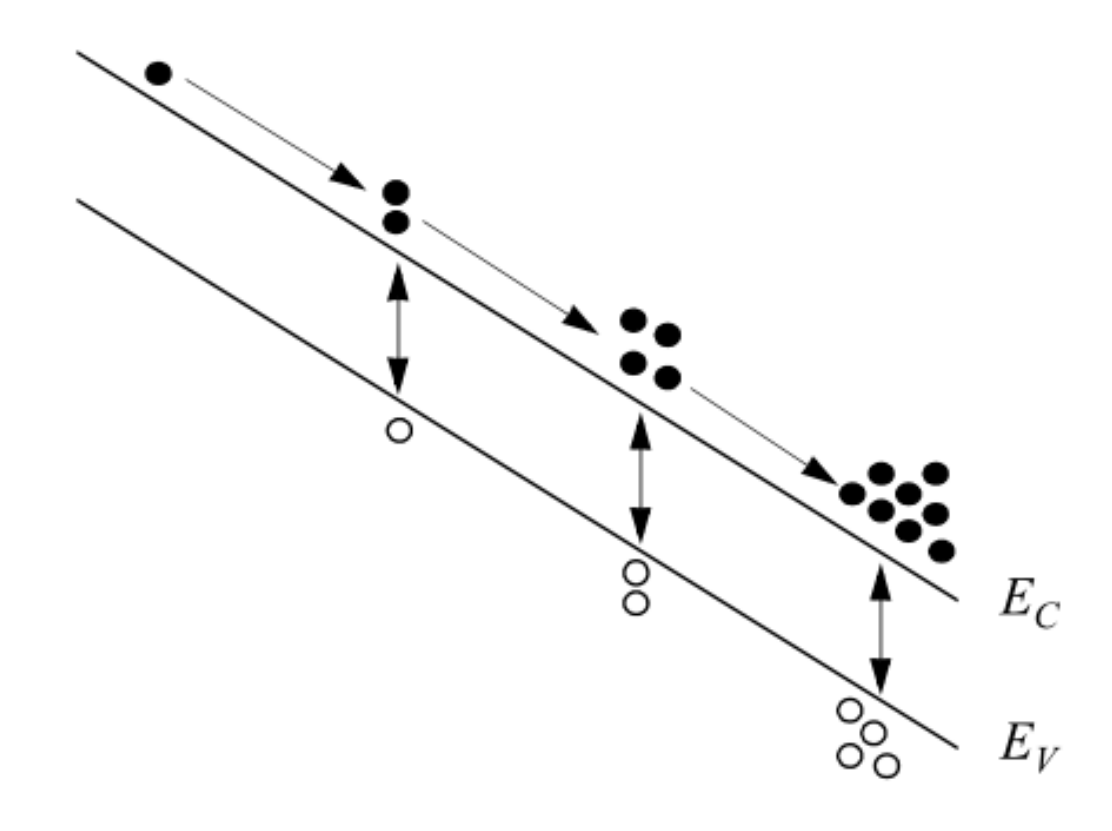


Beispiel: GaAs



### **Stoßionisation und Lawineneffekt**

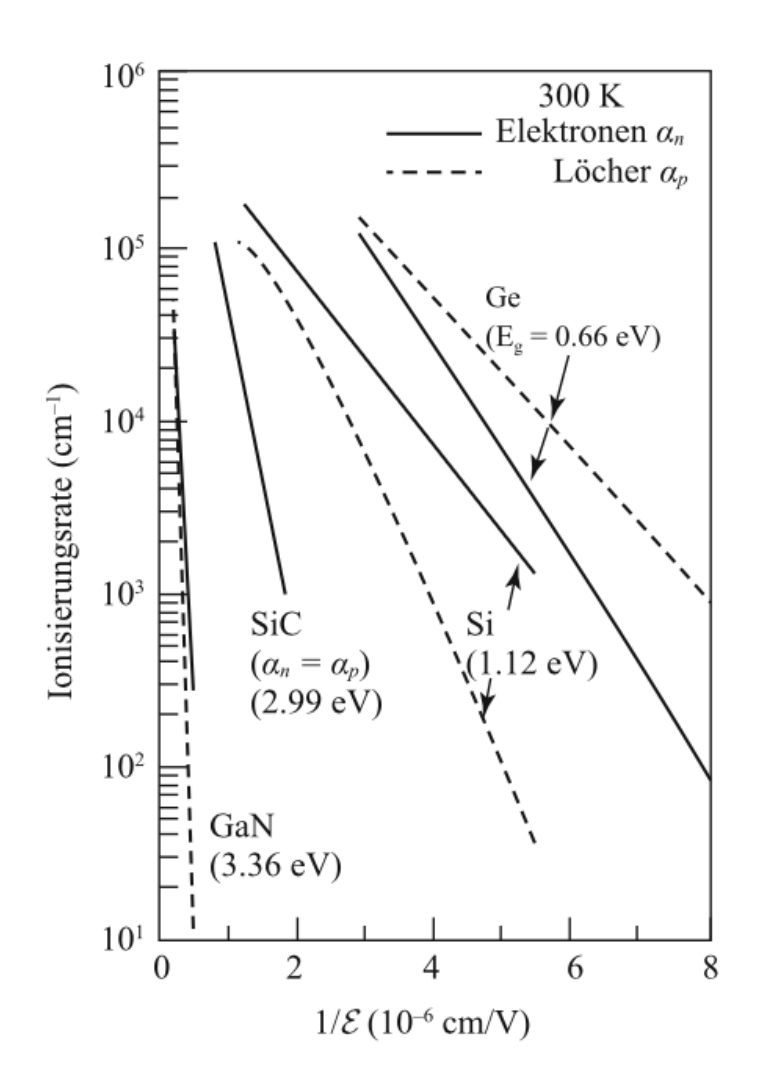


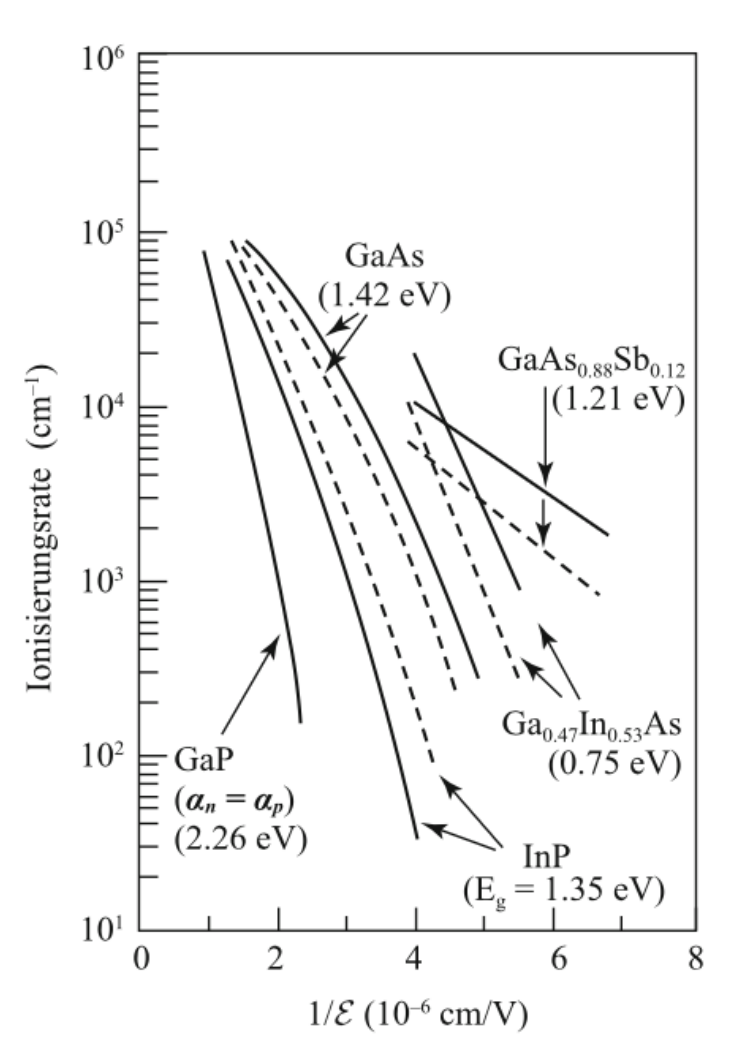


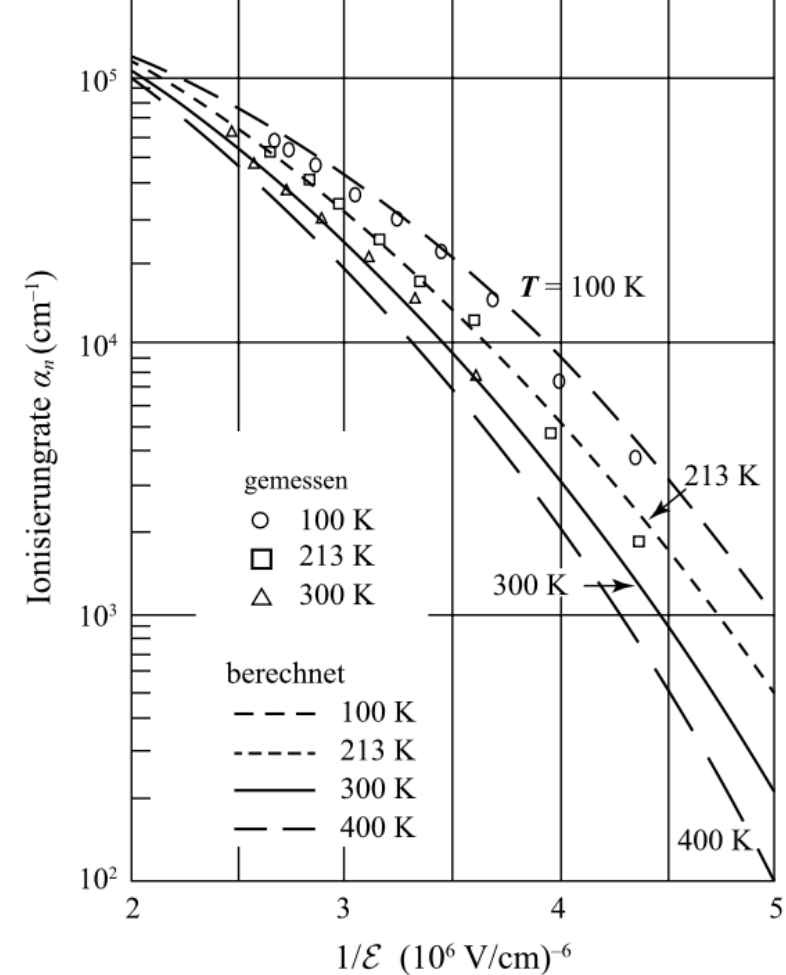


#### **Ionisationsraten**











WiSe 2021/22





#### **Bauelemente der Elektrotechnik**

Prof. Dr. rer. nat. Sebastian Kempf Wintersemester 2021/22

